

## بررسی تاثیر خصوصیات فیزیکی ساختمان‌های مسکونی بر میزان مصرف انرژی\*

(مطالعه موردی شهر خرم آباد)

آیت ناصری<sup>۱</sup> (نویسنده مسئول)، آرش مهرگانی<sup>۲</sup>

تاریخ پذیرش: ۱۳۹۵/۰۲/۱۹

تاریخ دریافت: ۱۳۹۴/۱۰/۱۳

### چکیده

پژوهش حاضر تلاش برای ارائه راه حلی جهت کاهش میزان مصرف انرژی در خانه‌های مسکونی است که در شهر خرم آباد صورت می‌گیرد. به منظور بررسی نحوه اثر خصوصیات فیزیکی ساختمان بر میزان مصرف انرژی آن، نخست هفت نمونه پلان ساختمانی با تناسبات متفاوت و مساحت یکسان انتخاب شده و فاکتورهایی چون ابعاد پلان (نسبت طول به عرض)، مساحت بازشوها، میزان شفافیت جداره‌های آن نسبت به سطح کدر و جهت‌گیری ساختمان نسبت به جهات جغرافیایی به عنوان عوامل موثر بر میزان مصرف انرژی در نظر گرفته شده اند. ابتدا به منظور بررسی عملکرد حرارتی و روشنایی گزینه‌های انتخابی، تمامی نمونه‌ها از صفر تا صد درصد پنجره در تمامی جداره‌ها را با فواصل ۵۰ درصدی تجربه کرده و میزان مصرف انرژی در هر کدام از آن‌ها در حالتی همچون زمان اوج سرما و گرما، بازه آسایش و تهیه مطبوع بررسی و نتایج اولیه ثبت می‌شود. پس از آن میزان روشنایی طبیعی در نمونه‌ها سنجیده و با استاندارد روشنایی فضاهای داخلی مطابقت داده می‌شود. در مرحله بعد نتایج بدست آمده به نمودارهای ریاضی و قابل ارزیابی تبدیل شده و شفافیت و روشنایی بهینه در هر نمونه و متعاقب آن میزان مصرف انرژی در بهینه ترین حالت هر نمونه اندازه گیری می‌شود. در آخرین مرحله مصرف بنا بر حسب جهت گیری نسبت به جهات جغرافیایی نیز سنجیده شده و اطلاعات حاصله با نتایج حاصل از مراحل قبل تجمعی شده اند. نتایج نهایی نشان دهنده آنست که در این اقلیم و با کاربری یاد شده؛ تناسب مربع با نسبت یک به یک (طول به عرض) دارای کمترین اتلاف انرژی نسبت به دیگر نمونه‌ها بوده، هم چنین درصد بهینه شفافیت جداره‌ها در نمونه مربع  $34/5$  و جهت گیری بهینه‌ی آن ۸ درجه به سمت شرق بوده است. هم چنین پس از انتخاب ابعاد ساختمان؛ با محاسبه‌ی مساحت بهینه بازشوها و تعیین جهت گیری مناسب بنا؛ میتوان اتلاف انرژی را کاهش داد.

### واژه‌های کلیدی:

ساختمان مسکونی، بهینه یابی، مصرف انرژی، عناصر فیزیکی، تناسبات ساختمان.

۱. دانشجوی کارشناسی ارشد معماری، دانشگاه آزاد اسلامی، واحد علوم و تحقیقات گیلان، رشت، ایران. Ayatn26@yahoo.com  
۲. مدرس دانشگاه آزاد اسلامی گیلان، گروه معماری، ایران، رشت، گیلان. mehr50gan@yahoo.com

\* پژوهش حاضر برگرفته از رساله کارشناسی ارشد آیت ناصری با عنوان "طراحی، آنالیز و مدلسازی یک خانه پسیو" می‌باشد که با راهنمایی دکتر آرش مهرگانی در شهریور ماه ۱۳۹۴ در دانشگاه آزاد اسلامی واحد رشت تدوین شده است.

از نخستین گام‌ها در راستای کاهش مقدار مصرف سوخت‌های فسیلی باشد. لکن نظر به پیشرفت تکنولوژی و تغییر الگوی زندگی و تغییرات اقلیمی رخ داده همانند افزایش دما در سالهای اخیر، به نظر می‌رسد راهکارهای گذشتگان جهت کاهش مصرف انرژی، به تنها بی و برای مدت طولانی قادر به پاسخگویی به نیازهای امروز نخواهد بود. در حقیقت انسان امروز جهت حفظ منابع تجدید ناپذیر، نیازمند به کارگیری همزمان دانش معماری و تکنولوژی نوین می‌باشد؛ چرا که به منظور کاهش میزان مصرف انرژی در ساختمان به پاسخ‌های دقیق و کاربردی در این خصوص نیازمندیم. لذا پژوهش حاضر بر آنست تاثیر ویژگی‌های فیزیکی ساختمان بر میزان مصرف انرژی آن در شهر خرم‌آباد را به صورت علمی بررسی کرده و ضمن مقایسه‌ی میزان مصرف در حالات مختلف، راهکاری مبتنی بر علم جهت محاسبه مصرف در حین طراحی ساختمان رائه نماید. بدین‌ترتیب در بخش‌های بعدی مقاله، ابتدا نمونه‌هایی از پژوهش‌های مشابه در زمینه کاهش مصرف انرژی ساختمان معرفی شده و نحوه‌ی انجام مراحل تحقیق به صورت اجمالی توضیح داده می‌شود، سپس ضمن ارائه جزئیات نحوه‌ی بررسی میزان مصرف انرژی ساختمان در حالات مختلف بیان شده و نتایج ثبت می‌گردند. نتایج نشان دهنده آنست که عواملی چون ابعاد پلان، مساحت بازشوها، میزان شفافیت جداره و جهت‌گیری ساختمان نسبت به جهات جغرافیایی به صورت مستقیم بر مقدار انرژی مصرفی ساختمان تاثیر گذار می‌باشدند. هم چنین به صورت کلی، در اقلیم مورد بررسی ساختمان با تناسب مربع شکل کمترین میزان مصرف را خواهد داشت.

## ۲- پیشینه تحقیق

امروزه در دنیا به دلیل گران بودن انرژی‌های فسیلی، طراحی خانه‌های کم مصرف اهمیت بسیار زیادی پیدا کرده است و در این زمینه در کشورهای مختلف تحقیقات متفاوتی انجام شده است؛ در این زمینه اکثر پژوهش‌ها توجه خود را بر ویژگی‌های معماری ساختمان (تکنیک‌های ساخت) و نیز منابع جایگزین انرژی متمرکز نموده اند. می‌توان گفت تمامی تحقیقات صورت گرفته در این زمینه، دستیابی به ساختمان‌های کم انرژی را در مرحله‌ی اول، به کمک اصلاح شیوه‌های ساخت و ساز مانند استفاده از پنجره‌های مناسب، عایق بندی صحیح و کافی، حذف پل‌های حرارتی، هوابندی و جهت‌گیری صحیح ساختمان قابل دست یابی می‌دانند. همچنین استفاده از انرژی‌های

## ۱- مقدمه

فراهم آوردن شرایط آسایش محیطی در ساختمان‌ها همواره از دغدغه‌های اصلی معماران جهان و ایران بوده و در این میان ساختمان‌های مسکونی همواره از اهمیت ویژه‌ای برخوردار بوده‌اند. با توجه به سهم بسیار زیاد ساختمان‌ها در مصرف انرژی، لزوم توجه به کنترل مقدار مصرف امری بدینه بوده و از گذشته همواره مورد توجه قرار داشته است؛ برای مثال در معماری بومی ایران؛ همواره "انتخاب فرم و راهکارهای معماری متناسب با اقلیم" به منظور کاهش مقدار مصرف انرژی در اولویت کار طراحان بوده است، شیبدار ساختن سقف خانه‌ها در نواحی پر باران، انتخاب احجام بسته و کم بازشو در مناطق سرد و طراحی بادگیرها در نواحی گرم و خشک و گرم و مرتبط مثال‌هایی ازین دست می‌باشند. این شیوه یکی از کم هزینه‌ترین روش‌های ممکن در راستای مدیریت صحیح استفاده از منابع انرژی بوده و سهم بسزایی در کاهش مشکلات ناشی از مصرف بی رویه‌ی خواهد داشت (نصراللهی، ۱۳۹۰). همچنین شکل ساختمان می‌تواند تاثیر زیادی در هماهنگ ساختن ساختمان با شرایط اقلیمی و همچنین در تعديل انتقال شرایط بحرانی هوای خارج به داخل ساختمان داشته باشد (کسمایی، ۱۳۸۲). طراحی اقلیمی هم چنین موجب می‌گردد ساختمان‌ها دارای شرایط آسایش بهتری باشند و به جای فشار آمدن به سیستم‌های گرمایش و سرمایش، خود شرایط آسایش ساکنان را فراهم سازند (واتسون، لیز، ۱۳۸۲). لکن امروز، توجه به سازگاری بنا و اقلیم آن، اغلب در طراحی ساختمان‌ها نادیده گرفته شده و بخش عظیمی از منابع انرژی بدین طریق از دست می‌رود؛ چنانچه آمار تراز نامه انرژی در ایران نشان دهنده آنست که سرانه مصرف نهایی انرژی در بخش صنعت ساختمان ۱/۵ برابر متوسط جهانی و سرانه مصرف انرژی‌های تجدید پذیر بسیار پایین‌تر از متوسط جهانی است (ترازنامه انرژی، ۱۳۸۵). با توجه به مسائل موصوف، آنچه واضح است آنست که در صورت عدم کنترل مصرف انرژی در آینده نزدیک با مشکلاتی جدی مواجه خواهیم بود. چنانچه گفته شد، طراحی اقلیمی به صورت تجربی پتانسیل بسیار بالای خود را در برآورده ساختن نیازهای آسایشی ساکنان و کاهش مصرف سوخت‌های فسیلی در گذشته نشان داده است، به بیان دیگر انتخاب صحیح تنشیات یک ساختمان بر حسب اقلیم و نوع کاربری، و همچنین نحوه دریافت و بهره‌برداری از انرژی‌های تجدید پذیر از طریق فرم معماری بنا می‌تواند

توجه خواهد بود. هم چنین با کاهش مساحت پنجره‌های جنوبی و افزایش سطح پنجره‌های شمالی، میتوان از گرمایش بیش از حد فضای داخلی در تابستان جلوگیری کرده، در فصل سرد انرژی بیشتری را جهت گرمایش تامین نموده و دمای فضاهای داخلی را بین ۲۳ الی ۲۶ درجه سانتیگراد حفظ نمود (Persson, Roos, Wall, 2006).

در تحقیق دیگری گرانادیرو، کوریا، لیل و دوارتا زیک ابزار جدید شبیه سازی مصرف انرژی جهت تعیین میزان مصرف ساختمان بهره برده و به کمک شبیه سازی مدل‌های ساختمانی، ویژگی‌های فیزیکی اثر گذار بر میزان مصرف انرژی را تحلیل نموده اند. اطلاعات و رودی نرمافزار شامل مساحت عناصر ساختمان (کفها، سقف‌ها، دیوارها و پنجره‌ها) ضریب هدایت حرارتی مصالح ساختمانی (U-Values)، و ضریب دریافت انرژی خورشیدی پنجره‌ها بودند. نتایج این پژوهش بیان گر آن بود که مصالح، مساحت پنجره‌ها و فرم ساختمان مهم ترین عوامل موثر بر مصرف آن می‌باشند (Granadeiro, Correia, Leal, Duarte, 2013).

کازاناسماز و همکاران در پژوهشی در شهر ازمیر ترکیه، عملکرد حرارتی ساختمان را بر اساس فرم معماری آن تحلیل کرده و بیان داشته اند که در حدود نیمی (۵۰ درصد) از تفاوت‌های مصرف انرژی در دو ساختمان مشابه به لحاظ سیستم‌های تامین انرژی، به دلیل تفاوت در فرم معماری آن‌ها می‌باشد. مطابق نتایج، عوامل مرتبط با فرم که مستقیماً بر مصرف انرژی تاثیر گذارند نسبت سطح به حجم و جهت‌گیری ساختمان بوده و پس از ان عایق کاری صحیح بیشترین تاثیر را بر جلوگیری از هدررفت انرژی خواهد داشت (Kazanasmaz, Uygun, Akkurt, Turhan, Ekmen, 2014).

در منابع فارسی حیدری در کتاب "برنامه ریزی انرژی در ایران با تکیه بر بخش ساختمان" به مسئله تولید و مصرف انرژی و لزوم برنامه ریزی برای آن با تاکید بر بخش ساختمان پرداخته است (حیدری, ۱۳۸۸). عرب‌زاده و کاظم‌زاده حنانی در مقاله "بررسی پارامترهای مؤثر در میزان مصرف انرژی در بخش مسکونی در ایران"، اثر پارامترهایی چون تنوع مصالح در دیوارهای خارجی، عایقکاری، دیوارهای خارجی، تنوع مصالح در سقف، عایق کاری سقف، انواع شیشه و اندازه پنجره‌ها در بار حرارتی و میزان مصرف انرژی ساختمان در ماههای سرد سال را در یک ساختمان حقیقی در شرایط بهینه‌سازی مصرف آب و هوایی شهر تهران بررسی کرده‌اند (عرب‌زاده و کاظم‌زاده حنانی, ۱۳۸۴). ناصراللهی نیز در مقاله "ضوابط معماری و شهرسازی کاهش دهنده مصرف انرژی ساختمانها" به بررسی استراتژی‌های بهره‌وری انرژی در

پسیو (غیر فعال) و منابع انرژی تجدید پذیر می‌تواند در این زمینه مفید باشد.

از نظر آیزوور، بررسی تاثیر خصوصیات فیزیکی ساختمان در حقیقت یکی از راه‌های رسیدن به ساختمان‌های کم انرژی محسوب می‌شود (Isover, 2013). جابر و عجیب، ارزیابی بهترین جهت گیری ساختمان، اندازه پنجره، و ضخامت عایق کاری حرارتی برای یک ساختمان مسکونی در منطقه مدیترانه را بررسی کرده اند. نتایج دال بر این مطلب بودند که در حدود ۲۷,۵۹ درصد از مصرف انرژی سالانه را می‌توان با انتخاب بهترین جهت، اندازه بهینه پنجره‌ها، سایبان و ضخامت مطلوب عایق صرفه‌جویی نمود (Jaber, Ajib, 2011). یو و همکارانش از نرم افزار EQUEST برای تجزیه و تحلیل اثرات راهکارهای صرفه‌جویی در مصرف انرژی کولر در اتاق‌هایی با جهت‌های مختلف در چین استفاده نمودند. نتایج نشان می‌دهد که سایبان و عایق‌بندی دیوارهای خارجی، بهترین راهکار برای کاهش مصرف برق است که صرفه‌جویی ۱۱ و ۳۱.۱۱ درصدی را به دنبال دارد. بهینه‌سازی راهکارهای مختلف می‌تواند مصرف سالانه برق را تا ۲۵.۹۲ درصد کاهش داده و مصرف برق برای سرمایش و گرمایش به ترتیب تا ۰۸.۲۱ و ۳۴.۷۷ درصد کاهش می‌یابد (Jinghua et. al, 2008). محمد الحمود میزان مصرف انرژی یک مدل ساختمان بهینه شده براساس پارامترهای طراحی معماری را به کمک نرم افزارهای شبیه‌سازی در طول ۲۴ ساعت شبانه روز بررسی کرده و نتیجه می‌گیرد که تصمیمات اولیه طراحی میتوانند نقش مهمی در تعیین عملکرد حرارتی ساختمان داشته باشند (Mohammad S.AL-Homod, 2005). در پژوهش دیگری نیلسن یک مدل ساختمانی واقعی را شبیه‌سازی نموده و عملکرد حرارتی آن را بررسی کرده است. نتایج نشان دهنده آن بودند که حداقل نیاز جهت تامین گرمایش و سرمایش، دمای فضای داخلی و میزان دریافت نور خورشید تاثیر بسیار زیادی بر یافتن راه حل‌های بهینه سازی خواهد داشت. همچنین نوع و سایز پنجره‌ها براساس نیاز فضاهای داخلی به نور طبیعی تعیین می‌شوند (Toke Rammer Nielsen, 2002).

پرسون، روز و وال تاثیر سایز پنجره‌ها بر میزان مصرف انرژی خانه‌های کم مصرف در شهر گوتبرگ را به کمک نرم افزارهای شبیه سازی بررسی نموده اند. طبق نتایج بدست آمده، در صورت استفاده از پنجره‌های چند جداره و عایق‌بندی شده (کارآمد به لحاظ مصرف انرژی) سایر پنجره‌ها تاثیر چندانی بر نیاز گرمایشی ساختمان در فصل زمستان نخواهد داشت، اما اثر آن بر نیازهای سرمایشی در فصل تابستان قابل

می شود. بدین ترتیب که تمامی ۷ نمونه از صفر تا صد درصد پنجره را در تمامی جداره ها با فواصل ده درصدی تجربه کرده و میزان مصرف انرژی در هر کدام از آن ها در حالاتی همچون زمان اوج سرما و گرما، بازه آسایش و تهویه مطبوع بررسی و نتایج اولیه ثبت می شوند. نتایج بدست آمده (از طریق نرم افزار انرژی پلاس) نیز توسط نرم افزار اکسل به نمودارهای قابل ارزیابی تبدیل و دسته بندی می شوند.

در گام دوم، با توجه به اهمیت روشنایی در فضای داخلی ساختمان، میزان روشنایی طبیعی در نمونه ها سنجیده و با استاندارد روشنایی فضاهای داخلی مطابقت داده شده است. سپس در مرحله سوم، به منظور بهینه سازی در نمونه های مذکور<sup>۳</sup>، نتایج مراحل قبل به نمودارهای ریاضی<sup>۴</sup> و قابل ارزیابی تبدیل شده و شفافیت و روشنایی بهینه در هر نمونه و متعاقب آن میزان مصرف انرژی در بهینه ترین حالت در هر نمونه اندازه گیری می شود.

در گام آخر، تناسب و شفافیت بهینه از هر نمونه به عنوان مدل منتخب در نظر گرفته شده و مدل ها با فواصل ده درجه ای از سمت جنوب به میزان ۹۰ درجه به سمت شرق و غرب چرخانده شده اند. در این فواصل با گام های ۱۰ درجه ای میزان انرژی مصرفی در بار سرمایشی و گرمایشی و کل انرژی لازم جهت سیستم تهویه مطبوع محاسبه و به نمایش درآورده شده است پس از آن، با توجه به اهمیت تاثیر نحوه تابش خورشید بر جداره های ساختمان، مقدار مصرف بر حسب جهت گیری نسبت به جهات جغرافیایی نیز سنجیده شده و در نهایت اطلاعات حاصله با نتایج حاصل از مراحل قبل تجمیع و گزینه پیشنهادی معرفی می شود.<sup>(۴)</sup>.

#### ۴- بحث اصلی

در گام نخست لازم است حجم کلی ساختمان پیش از طراحی جزئیات پیش بینی شود. لذا به منظور تامین جامعه ای آماری اولیه، ۷ نمونه تناسب یک خانه مسکونی در نظر گرفته شده که همگی دارای مساحت و حجم هوای یکسان بوده و تفاوت مدل ها در نسبت طول به عرض آنها می باشد. مدل های مذکور مورد تحلیل مصرف انرژی قرار گرفته و نتایج مقایسه می شوند. آنچه که در این بخش مورد بررسی قرار می گیرد؛ نحوه عملکرد حرارتی و روشنایی کل ساختمان به عنوان یک منطقه حرارتی واحد می باشد؛ مشخصات نمونه های انتخابی در جدول شماره ۱ قابل مشاهده است. در ادامه همانطور که گفته شد مدل های انتخابی با درصدهای مختلفی از مساحت بازشو پنجره مورد

بخش ساختمان و مسکن در ایران پرداخته است. (نصراللهی، ۱۳۹۰) خیاطیان و رئیس سمیعی عواملی چون تناسبات، جهت گیری و میزان شفافیت بهینه ساختمان را بر مصرف انرژی آن موثر دانسته و به کمک محاسبات نشان میدهدن بررسی شرایط محیطی و انتخاب مشخصات صحیح در مراحل اولیه طراحی باعث کاهش چشمگیر در مصرف انرژی ساختمان می شود. (خیاطیان، فاضل و محمد مهدی رئیس سمیعی، ۱۳۹۲) هم چنین بزرگر و حیدری، رابطه میان میزان دریافت تابش خورشیدی و مصرف انرژی ساختمان در بخش خانگی را بررسی کرده و نشان میدهدن خانه های دارای جهت گیری اقلیمی دارای مصرف انرژی کمتری می باشند (بزرگر، زهرا و شاهین حیدری، ۱۳۹۲).

#### ۲- روش شناسی تحقیق

تحقیق حاضر از نوع کاربردی، به لحاظ روش تحقیق از نوع شبیه سازی و رویکرد حاکم بر آن - با توجه به ماهیت موضوع و شاخص های مورد بررسی - از نوع طراحی محور می باشد. به منظور سنجیدن تاثیر خصوصیات فیزیکی ساختمان بر میزان مصرف انرژی آن و با در نظر گرفتن این امر که سنجیدن تمامی تناسبات موجود جهت یافتن مناسب ترین ابعاد یک خانه ی کم مصرف ممکن نیست؛ هفت نمونه تناسب ساختمانی با هندسه پلان متفاوت و مساحت فرضی و یکسان "۱۵۰ متر مربع" در نظر گرفته شده (نمونه A تا G)؛ هندسه این تناسبات از مربع شروع شده و به سمت اشکالی با کشیدگی بیشتر (مستطیل) ادامه پیدا می کند<sup>(۲)</sup>. با توجه به آنکه در یک منزل مسکونی، سیستمهای تهویه مطبوع و روشنایی به ترتیب ۴۰ و ۱۱ درصد از کل انرژی مصرفی را به خود اختصاص میدهند، نمونه های مذکور از نظر نحوه عملکرد حرارتی و روشنایی کل ساختمان تحلیل می شوند. همچنین لازم به ذکر است که با توجه به تاثیر خصوصیات مصالح ساختمان در مصرف انرژی آن، مصالح جداره ها به صورت پیش فرض در نمونه های A تا G یکسان در نظر گرفته شده و در طول فرایند طراحی بدون تغییر می باشد، لذا متعاقبا ضریب هدایت حرارتی جداره ها و تاثیر آن بر مصرف انرژی در تمامی گزینه ها مشابه خواهد بود.<sup>(۳)</sup>.

با توجه به اهمیت تاثیر میزان شفافیت جداره های ساختمان در مقدار مصرف انرژی آن، در گام نخست مدل فیزیکی نمونه ها توسط نرم افزار اکوتک<sup>۱</sup> شبیه سازی شده و میزان مصرف انرژی آنها با درصد های مختلفی از مساحت پنجره جداره های خارجی ساختمان توسط نرم افزار انرژی پلاس<sup>۲</sup> و با توجه به شرایط اقلیمی شهر خرم اباد محاسبه

آسایش و تهویه مطبوع می‌باشند.

تحلیل قرار گرفته اند. موارد بررسی شده در این قسمت شامل میزان مصرف در اوج سرما و گرما، تعداد روزهای

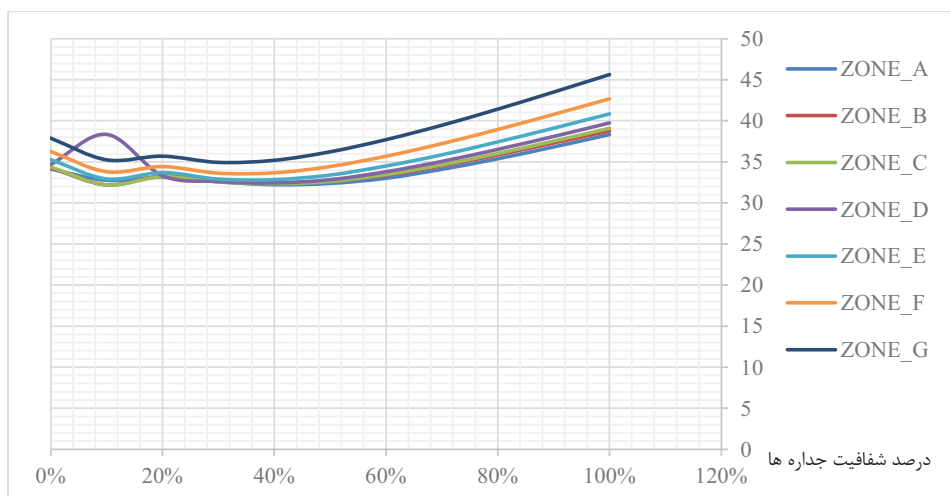
جدول ۱: مشخصات نمونه‌های مورد بررسی (مأخذ: نگارنده)

نمونه	طول (m)	عرض (m)	ارتفاع (m)	مساحت کف (m <sup>2</sup> )	مساحت دیوار (m <sup>2</sup> )	حجم (m <sup>3</sup> )	نسبت عرض به طول	نسبت A <sup>5</sup> /V
A	۱۲/۲۵	۱۲/۲۵	۳	۱۵۰	۱۴۷	۴۵۰	۱	۰/۳
B	۱۳/۶۴	۱۱	۳	۱۵۰	۱۴۷,۸۴	۴۵۰	۱/۲۴	۰/۳۲
C	۱۵	۱۰	۳	۱۵۰	۱۵۰	۴۵۰	۱/۵	۰/۳۳
D	۱۶/۶۷	۹	۳	۱۵۰	۱۵۴,۰۲	۴۵۰	۱/۸۵	۰/۳۴
E	۱۸/۷۵	۸	۳	۱۵۰	۱۶۰,۰۵	۴۵۰	۲/۳۴	۰/۳۵
F	۲۱/۴۳	۷	۳	۱۵۰	۱۶۹,۵۸	۴۵۰	۳	۰/۳۷
G	۲۵	۶	۳	۱۵۰	۱۸۶	۴۵۰	۴/۱	۰/۴۱

در سایت و در دمای مذکور به کمک نرمافزار شبیه‌سازی شده و میزان مصرف انرژی آنها محاسبه می‌شود، نتیجه‌ی این تحلیل در شکل شماره ۱ مشخص است، چنان‌که می‌بینیم در اوج سرما نمونه G بدترین عملکرد حرارتی (بیشترین میزان مصرف انرژی) و نمونه A بهترین عملکرد حرارتی را از خود نشان می‌دهد.

#### ۵- مصرف انرژی در زمان اوج سرما

جهت بررسی میزان مصرف انرژی در زمان اوج سرما که برابر با ۲۹ دسامبر (۸ دی) می‌باشد<sup>۷</sup>؛ تمامی نمونه‌ها توسط نرمافزار<sup>۷</sup> تحلیل می‌شوند. بر اساس اطلاعات هواشناسی شهر خرم‌آباد، در این روز میانگین دمای هوا ۲/۴ درجه سانتی‌گراد تخمین زده شده است. لذا مدل فیزیکی نمونه‌ها

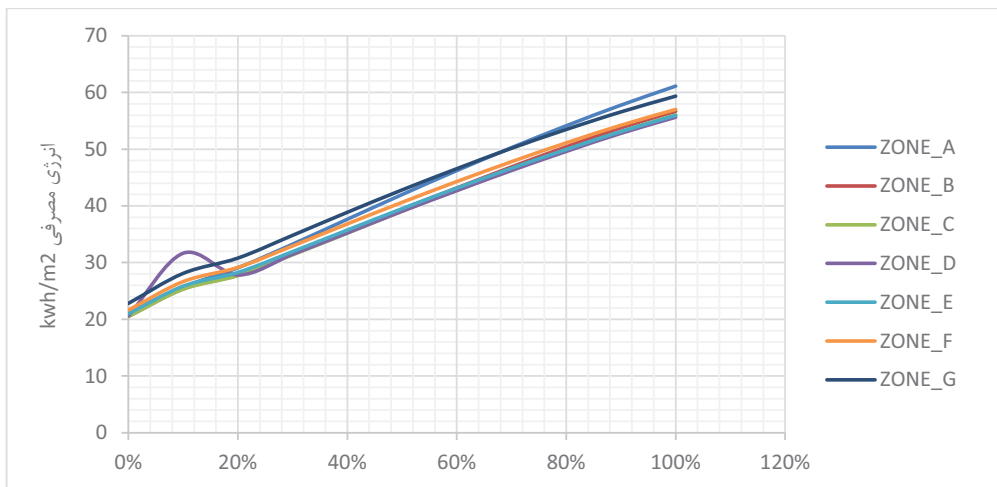


شکل ۱. عملکرد حرارتی نمونه‌ها در زمان اوج سرما (میانگین دما ۲/۴ درجه) (مأخذ: نگارنده)

سانسی‌گراد می‌باشد. تحلیل‌های مشابه نشان دهنده‌ی آنست که نمونه G بدترین عملکرد (بیشترین مصرف انرژی) و نمونه C بهترین عملکرد را داشته و کمترین انرژی را جهت تامین سرمایش مصرف کرده است.

#### ۶- مصرف انرژی در زمان اوج گرما

همانگونه که عملکرد نمونه‌ها در سردترین روز سال بررسی شد، عملکرد سرمایشی آنها در گرمترین روز سال نیز تحلیل می‌شود. دمای هوا در اقلیم مورد نظر در این روز یعنی ۲۱ جولای (۳۰ تیر) میانگین دمای هوا ۳۱/۴ درجه



شکل ۲. عملکرد حرارتی نمونه‌ها در زمان اوج گرما (میانگین دمای ۳۱/۴ درجه) (مأخذ: نگارنده)

حال سوال پیش آمده آنست که دلیل بی نظمی و عدم تبعیت نمونه D در بازه‌ی شفافیت جداره ۱۰ درصد در نمودار ۱ و ۲ چیست؟

چنانچه در شکل شماره ۱ دیده می‌شود، در زمان اوج سرما با توجه به مساحت کم بازشو نسبت به جداره کدر ساختمان، تابش ضعیف نور خورشید و اختلاف زیاد دمای هوا بین شب و روز در اقلیم مورد نظر؛ میزان انرژی بدست آمده از طریق بازشوها در طول روز کمتر از انرژی از دست رفته در ساعت شب بوده و ساختمان برای تامین گرمایش نیازمند صرف انرژی بیشتری خواهد بود. در حقیقت میتوان گفت در بازه‌ی مذکور، مساحت بازشوها نه آنقدر زیاد بوده که انرژی گرمایی مورد نیاز را تامین نماید و نه آنقدر کم بوده که مانع از اختلاف انرژی در ساعت شب گردد. با افزایش مساحت بازشو از ۱۰ تا ۲۰ درصد، دریافت انرژی نیز بیشتر شده و به تدریج با جبران انرژی از دست رفته، نمودار روندی مشابه دیگر نمونه‌ها پیدا کرده است.

از سوی دیگر در گمترین روز سال (شکل شماره ۲) در بازه شفافیت ۱۰ درصد، تابش شدید خورشید و اختلاف کم بین دمای هوای شب و روز، دمای هوای فضای داخل را افزایش داده و انرژی زیادی برای کاهش آن مورد نیاز خواهد بود. باید توجه داشت هر چه اختلاف درجه حرارت محیط داخل و خارج ساختمان بیشتر باشد به همان میزان به انرژی مبادله شده میان دو محیط افزوده شده و انرژی بیشتری برای تثیت دما نیاز خواهد بود (راجزویان، ۱۳۸۸). این در حالی است که در دیگر نمونه‌ها، تنشیات ساختمان و مساحت بازشوها از صفر تا صد به گونه‌ای است که نسبت دریافت و اختلاف انرژی متناسب بوده و روند مصرف انرژی نمونه‌ها مشابه است. در توضیحی دقیق تر

همانطور که بیان شد؛ پس از انتخاب ۷ نمونه تناسب ساختمانی در مرحله نخست، میزان مصرف انرژی نمونه‌ها در زمان اوج گرما و سرما و در بازه‌ی شفافیت صفر تا صد جداره‌ها محاسبه و به صورت نمودار ترسیم شده است.

چنانچه در شکل ۱ مشخص است، در زمان "اوج سرما" به طور کلی با افزایش میزان شفافیت جداره از صفر (۰) تا حدود چهل (۴۰) درصد، میزان کلی مصرف انرژی در تمامی نمونه‌ها "به غیر از نمونه D" کاهش یافته و پس از آن با افزایش شفافیت جداره نسبت به سطح کدر؛ مقدار مصرف نیز افزایش یافته است. در تحلیل روند نمودار مذبور باید گفت ضمن افزایش مساحت پنجره در جداره‌های ساختمان و دریافت انرژی خورشید در طول روز، مقداری از انرژی گرمایشی آن تامین شده و کل انرژی مصرفی مورد نیاز کاهش پیدا می‌کند.

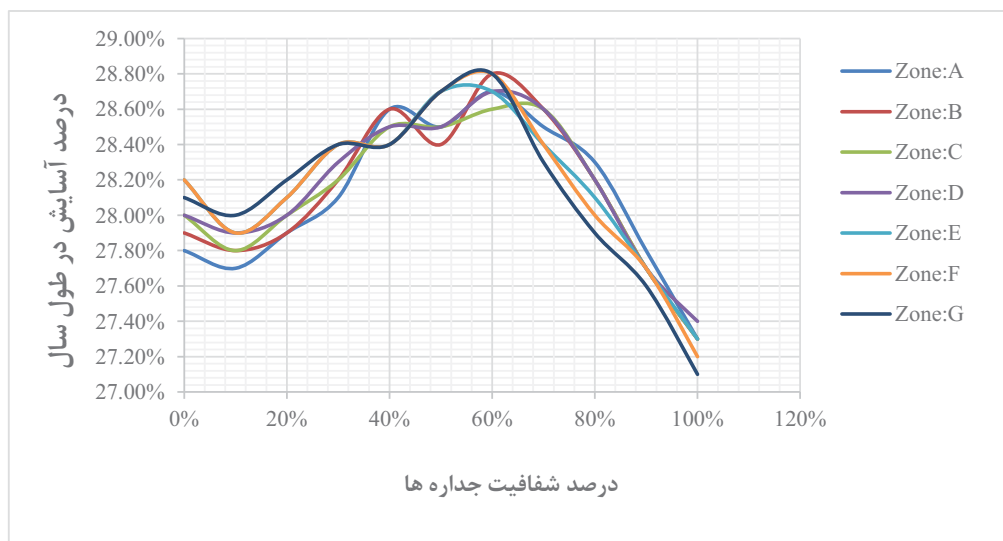
از سوی دیگر افزایش بیش از حد مساحت بازشوها در عین حال اختلاف انرژی را در برداشته و در نهایت میزان مصرف را افزایش خواهد داد. زیرا سطح شفاف ساختمان زیاد شده و در ساعت شب انرژی زیادی از این طریق از دست خواهد رفت. چنانکه دیده می‌شود در تمامی نمونه‌ها با افزایش بازشوها از مقداری معین، میزان مصرف انرژی به صورت قابل ملاحظه‌ای زیاد شده است.

شکل شماره ۲ نیز نشان دهنده روند مصرف انرژی نمونه‌ها در زمان "اوج گرما" می‌باشد، که مصرف انرژی نمونه‌ها همزمان با افزایش شفافیت جداره، روندی رو به رشد را نشان می‌دهد. دلیل این امر آنست که در هوای گرم با افزایش تدریجی سطح بازشو میزان دریافت انرژی نیز بیشتر شده و برای کاهش دمای هوای داخل ساختمان باید انرژی بیشتری مصرف نمود.

### ۷- بازه‌ی آسایش

پس از بررسی میزان مصرف انرژی در زمان اوج گرما و سرما، نحوه عملکرد حرارتی نمونه‌ها در بازه‌ی آسایش بررسی می‌شود. بازه‌ی آسایش حرارتی در اقلیم خرم آباد در محدوده دمایی بین ۱۸ تا ۲۷ درجه سانتی گراد قرار دارد.<sup>۴</sup> لذا با توجه به آن، تعداد ساعتی از یک سال که هر یک نمونه‌ها در این محدوده قرار دارند استخراج شده است. مطابق تحلیل‌ها نمونه E بهترین عملکرد را از نظر قرارگیری در شرایط آسایش به خود اختصاص داده است (شکل شماره ۳).

می‌توان گفت نسبت کمتر بازشوها در نمونه‌های A و B و C نسبت به نمونه D، اتلاف انرژی کمتری را در روز‌های سرد موجب شده و در روزهای گرم انرژی دریافتی آنها متناسب با حجم فضای داخلی ساختمان می‌باشد. نمونه‌های E و F و G نیز به دلیل بیشتر بودن سطح بازشو و با توجه به کشیدگی غربی - شرقی دریافت انرژی بیشتری را "بالاخص در جبهه‌ی جنوبی" در روزهای سرد تجربه کرده و انرژی خورشیدی مورد نیاز را دریافت می‌کنند.



شکل ۳. میزان ساعتی قرارگیری نمونه‌ها در شرایط آسایش در یک سال (ماخذ: نگارنده)

طور کلی نمونه‌های کشیده‌تر عملکرد بهتری داشته و هر چه از کشیدگی نمونه‌ها کاسته می‌شود، درصد آسایش شدت کمتری می‌یابد، تا جایی که نمونه A که کاملاً مربع شکل است تغییر محسوسی را بین ۱۰ تا ۶۰ درصد شفافیت تجربه نمی‌کند. در شرایط عدم آسایش ساعت گرم عملکرد متفاوتی از نمونه‌ها را در تمامی حالات شفافیت شاهد هستیم. نتایج تحلیل در این بازه نشان دهنده آن است که بجز موارد خاص - شفافیت بالای ۸۰ درصد - با افزایش شفافیت جداره، آسایش حرارتی نیز افزایش می‌یابد.

### ۹- تهویه مطبوع

همانگونه که عنوان شد، بیشترین مصرف انرژی خانه‌ها از طریق سیستم‌های تهویه مطبوع صورت می‌پذیرد، بنابراین مقایسه بار حرارتی و سرمایشی در نمونه‌ها از اهمیت ویژه‌ای برخوردار است. در این راستا نمونه‌های بررسی شده این بار شرایط آسایش محیطی را بصورت ۲۴ ساعته و در طول ۳۶۵ روز سال تجربه می‌کنند. در این حالت، دمای هوای داخل نمونه‌ها هیچگاه از بازه آسایش (۱۸-۲۷) خارج نمی‌شود.

### ۸- عدم آسایش

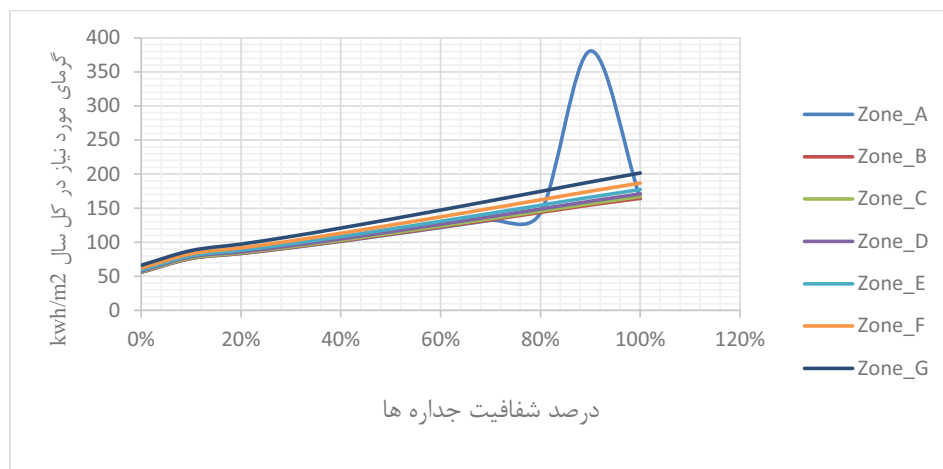
پس از بررسی شرایط آسایش، مابقی ساعتی که نمونه‌ها در محدوده آسایش حرارتی قرار نمی‌گیرند نیز به دو بخش بیش از حد سرد و بیش از حد گرم تقسیم و بررسی شده است. بدین معنی که ساعتی که در بخش گرم قرار گرفته دمایی بالاتر از ۲۷ درجه سانتی گراد و ساعتی که در بخش سرد قرار می‌گیرد دمایی زیر ۱۸ درجه سانتی گراد داشته‌اند. لذا می‌توان به عملکرد حرارتی هر کدام از نمونه‌ها در فصل گرما یا سرما پی برد. پر واضح است که این عملکرد به شدت متأثر از میزان پنجره موجود در جداره نمونه‌ها می‌باشد. هم چنین لازم به ذکر است که در محاسبات انجام شده در این بخش، سیستم تهویه مطبوع پیش‌بینی نشده و تهویه تنها به صورت طبیعی در نظر گرفته شده است. نتایج نشان دهنده آنست که در شرایط عدم آسایش در ساعات سرد، نمونه‌ها عملکرد بسیار مشابهی را از خود نشان می‌دهند. به این صورت که اکثر نمونه‌ها طی افزایش درصد شفافیت جداره از صفر تا ۱۰۰ درصد؛ افزایش آسایش را تجربه کرده‌اند؛ به

نمودارها پیداست نمونه‌ها در شفافیت زیر ۲۰ درصد تفاوت چندانی را در مصرف انرژی نشان نمی‌دهند، اما با افزایش درصد شفافیت جداره‌ها، اختلاف انرژی مصرفی بیشتر می‌شود. به صورت کلی نمونه‌ها با کشیدگی کمتر مصرف انرژی کمتری را طلب می‌کنند {نمونه‌های A و B و C تقریباً مصرف یکسانی را نشان می‌دهند} و نمونه G بیشترین مصرف انرژی را به خود اختصاص داده است.

هزینه لازم جهت این تثبیت دما استفاده از سیستم‌های تهویه مطبوع است که مصرف انرژی سیاری را طلب می‌کند. لذا انرژی مصرفی سیستم تهویه مطبوع در دو بخش گرمایش و سرمایش مورد بررسی قرار می‌گیرد.

#### ۱۰- تهویه مطبوع - گرمایش

شکل ۴ نمایشگر میزان انرژی مصرفی سیستم تهویه مطبوع جهت تامین گرمایش می‌باشد. همانگونه که از

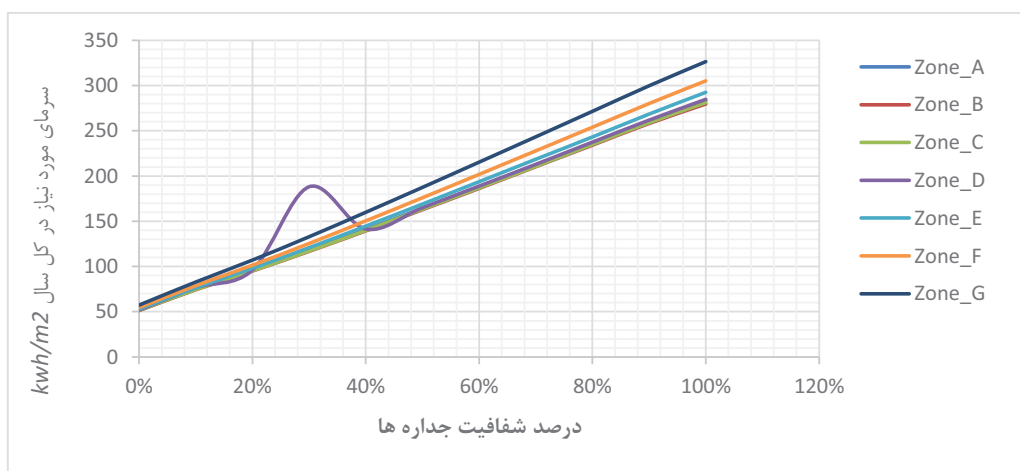


شکل ۴. میزان انرژی مصرفی سیستم تهویه مطبوع جهت تامین گرمایش در نمونه‌ها (ماخذ: نگارنده)

دارای اختلاف غیر قابل صرف نظر می‌باشند. می‌توان چنین تحلیل نمود که میزان شفافیت در جداره‌ها بیشترین تاثیر خود را بر روی بار حرارتی می‌گذارد. با این وجود در اقلیم خرمآباد، بار سرمایشی از اهمیت بیشتری برخوردار است.

#### ۱۱- تهویه مطبوع - سرمایش

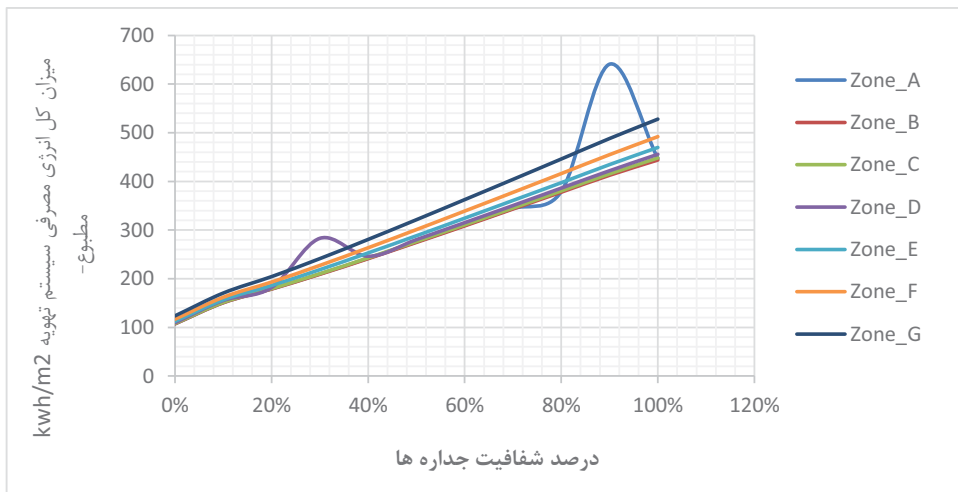
در بررسی بار سرمایشی نمونه‌ها (شکل ۵) نیز نتایج مشابهی حاصل شده است. نمونه‌های A، B، C و D تقریباً مصرف یکسانی را نمایش داده و تنها دو نمونه‌ی بسیار کشیده



شکل ۵. میزان انرژی مصرفی سیستم تهویه مطبوع جهت سرمایش در نمونه‌ها در طول یکسال (ماخذ: نگارنده)

که نمونه‌های دارای کشیدگی بیشتر، مصرف انرژی بیشتری داشته و عملکرد نمونه‌ها با تنشیات نزدیک به مربع مناسب‌تر است.

از تجمعی اطلاعات بدست آمده در زمینه تهویه مطبوع قلی میزان کل انرژی مصرفی این سیستم بدست می‌آید که در شکل شماره ۶ قابل مشاهده است. نتایج حاکی از آنست



شکل ۶. میزان کل انرژی مصرفی سیستم تهویه مطبوع در طول یکسال (ماخذ: نگارنده)

کمتری در فصل زمستان دریافت می‌نماید و در بازه شفافیت ۸۰ الی ۱۰۰ درصد جداره‌ها، "همانند وضعیت گزینه D در نمودار ۲" ، تبادل انرژی در نمونه A به حالت بحرانی رسیده و میزان زیاد اتفاق افزایش دمای آسايش در ساختمان انرژی زیادی را جهت حفظ دمای آسايش در مصرف انرژی طلب می‌کند. لذا در نمودار افزایشی ناگهانی در مصرف انرژی مشاهده می‌شود. این مسئله با افزایش مساحت پنجره‌ها و رسیدن به حجمی کاملاً شفاف برطرف شده و مصرف انرژی به مقدار پیش‌بینی شده برگردانده. همانطور که مشاهده شود نمونه A در بررسی میزان کل انرژی مصرفی تهویه مطبوع و در بازه شفافیت ۸۰ الی ۱۰۰، رفتاری مشابهی را نشان میدهد. نتایج کلی تحلیل‌های انجام شده تا بدین جا را می‌توان در جدول شماره ۲ مشاهده نمود:

چنانچه در شکل شماره ۴ و ۵ دیده می‌شود، نمودارها نشان‌دهنده بی‌نظمی در نمونه D در بازه ۲۰ تا ۴۰ درصد و نمونه A در بازه ۸۰ الی ۱۰۰ درصد شفافیت جداره می‌باشند؛ دلیل این امر در خصوص نمونه D قبل و در بخش محاسبات اوج گرمایش آورده شده است و در بخش تهویه مطبوع اتفاق مشابهی دیده می‌شود، اما در خصوص نمونه A؛ میزان انرژی مورد نیاز سیستم تهویه مطبوع جهت تامین گرمایش مورد نیاز این نمونه در طول یکسال، با افزایش مقدار بازشو تدریجاً افزایش یافته و در بازه ۸۰ الی ۱۰۰ درصد جهشی ناگهانی را نشان میدهد. جهت توضیح این افزایش ناگهانی باید به این مسئله توجه داشت که نمونه A نسبت به دیگر نمونه‌ها دارای سطوح جداره بیشتری در ضلع غرب و شرق و سطوح جداره کمتر در ضلع جنوب می‌باشد. لذا انرژی گرمایی بیشتری را در فصل تابستان و انرژی

جدول ۲: مقایسه کلی عملکرد نمونه‌ها در تحلیل‌های انجام شده. مأخذ: نگارنده

عملکرد نمونه‌ها	میزان مصرف انرژی							
	آوج گرما ۲۱ جولای، ۲۹ دسامبر، ۲۷ درجه	آوج سرما ۲۴ درجه ۳۱/۴ درجه	باره آسايش درجه	آسایش (گرم)	آسایش (سرد)	نهویه مطبوع (سرمایش)	نهویه مطبوع	عملکرد نملکرد
B	A , B , C , D	A , B , C	A	A	E	A	C	G
G	G	G	G	G	-	G	G	G

صرفی یک خانه مسکونی را به خود اختصاص می‌دهد. علاوه بر این موسسات معتبر سنتش مصرف انرژی ساختمان مانند لید یا بری ام (LEED \_ Breeam) <sup>۹</sup> حداقل‌هایی را برای میزان روشنایی نور طبیعی در فضاهای در نظر گرفته‌اند. بنابراین میزان نور طبیعی نیز در نمونه‌ها در بازه شفافیت جداره صفر (۰) الی صد (۱۰۰) بررسی شده و

با توجه به مطالعات پیشین پیرامون انرژی مصرفی و شرایط آسايش چنین به نظر می‌رسد که ابعاد نمونه A (پلان مربع شکل) بهترین گزینه برای دست‌یابی به حداقل مصرف انرژی در خانه مسکونی است. با این وجود همانطور که پیش تر گفته شد، روشنایی ۱۱ درصد از کل انرژی

نمونه در نظر گرفته شوند حذف می‌گردد  
([www.breeam.com](http://www.breeam.com))<sup>۱</sup>.

حالاتی که دارای ارزش نور طبیعی کمتر از ۵۰۰ لوکس بوده و عملانمی توانند به عنوان کاندیدای کم مصرف‌ترین

جدول ۳: حداقل ارزش نور طبیعی در نمونه‌ها (بر حسب lux) (مأخذ: نگارنده)

۱۰۰	۹۰	۸۰	۷۰	۶۰	۵۰	۴۰	۳۰	۲۰	۱۰	۰	شفافیت جداره
2485	2375	2132	1887	1641	1395	1137	881	620	331	0	A
2520	2380	2139	1897	1652	1403	1143	888	622	330	0	B
2534	2415	2170	1917	1669	1408	1157	897	630	335	0	C
2586	2464	2205	1955	1706	1443	1181	917	643	371	0	D
2626	2541	2286	2022	1764	1492	1218	945	664	352	0	E
2728	2655	2387	2110	1845	1558	1271	989	696	369	0	F
2893	2825	2546	2247	1964	1660	1353	1058	742	390	0	G

#### آمده از محاسبات کل انرژی مصرفی سیستم تهویه

مطبوع و ارزش روشناهی روز در جداول شماره ۴ و ۵ قابل مشاهده می‌باشند. در این جداول نمونه‌ها به ترتیب با پسوند ۱ و ۲ جهت عدم ایجاد اشتباه نامگذاری شده‌اند. مطابق نتایج جدول شماره ۴، کمترین میزان مصرف انرژی زمانی اتفاق می‌فتند که میزان بازشو در کمترین حد خود (صفر) قرار داشته باشد.

#### ۱۲- بهینه یابی

با توجه به اینکه نمونه‌های انتخاب شده بخش کوچکی از بازه تناسبات ساختمانی را در بر می‌گیرند، برای یافتن ابعاد بهینه لازم است این تناسبات به صورت یک الگو درآمده و به شکل یک نمودار پیوسته قابل ارزیابی باشد. بدین صورت که داده‌های موجود مسئله به توابع ریاضی تبدیل شده و بهینه‌یابی انجام می‌شود. نمونه توابع به دست

جدول ۴: توابع تطبیقی عملکرد نمونه‌ها (متوسط مصرف انرژی سیستم تهویه مطبوع) (مأخذ: نگارنده)

نمونه	تابع متوسط مصرف انرژی سیستم تهویه مطبوع	min	کمترین مصرف انرژی kwh/m2	درصد بازشو	رتبه‌بندی	مقدار مصرف kwh/m2
A	$y = 0.1138x^2 + 0.3132x + 0.5251$	X=-1/37	Y=0/5251	0	3	55.12
B	$y = 0.1146x^2 + 0.2799x + 0.5199$	X=-1/22	Y=0/5199	0	1	54.57
C	$y = 0.1235x^2 + 0.2674x + 0.5204$	X=-1/08	Y=0/5204	0	2	54.63
D	$y = 0.2105x^2 + 0.1378x + 0.5677$	X=-0/32	Y=0/5677	0	6	59.59
E	$y = 0.1369x^2 + 0.2589x + 0.5325$	X=-0/94	Y=0/5325	0	4	55.90
F	$y = 0.1429x^2 + 0.2666x + 0.5473$	X=-0/93	Y=0/5473	0	5	57.45
G	$y = 0.1475x^2 + 0.2885x + 0.5724$	X=-0/93	Y=0/5724	0	7	60.08

جدول ۵: توابع تطبیقی عملکرد نمونه‌ها (متوسط ارزش روشناهی طبیعی) (مأخذ: نگارنده)

نمونه	متوسط ارزش روشناهی طبیعی	min	کمترین مصرف انرژی kwh/m2	درصد بازشو	رتبه‌بندی	مقدار مصرف kwh/m2
A2	$y = -0.1876x^2 + 1.0558x + 0.0056$	X=2/81	Y=1/49	34.5	4	6.443
B2	$y = -0.1707x^2 + 1.0435x + 0.0093$	X=3/00	Y=1/60	37.2	1	6.925
C2	$y = -0.1776x^2 + 1.0606x + 0.0079$	X=2/98	Y=1/59	36.5	2	6.881
D2	$y = -0.1832x^2 + 1.0826x + 0.0087$	X=2/95	Y=1/60	36	3	6.925
E2	$y = -0.2434x^2 + 1.1735x - 0.0026$	X=2/41	Y=1/41	29.9	5	6.102
F2	$y = -0.2684x^2 + 1.2385x - 0.0048$	X=2/30	Y=1/42	28.7	6	6.146
G2	$y = -0.2969x^2 + 1.3285x - 0.0064$	X=2/23	Y=1/47	28	7	6.362

جدید میزان شفافیت بهینه برای هر کدام از سری نمونه‌ها تعیین شده و میزان مصرف انرژی بر اساس آن محاسبه می‌شود (جدول شماره ۶).

قبل از جمع جبری دوتابع؛ با توجه به تفاوت ما بین ارزش روشنایی و تهویه مطبوع، نمودارهای روشنایی نرمالیزه شده و سپس از توابع تهویه مطبوع تفریق می‌شوند. در توابع

جدول ۶: شفافیت بهینه نمونه‌ها و میزان مصرف آنها بر حسب مقدار بازشو بهینه (پس از اعمال حداقل روشنایی طبیعی) (ماخذ: نگارنده)

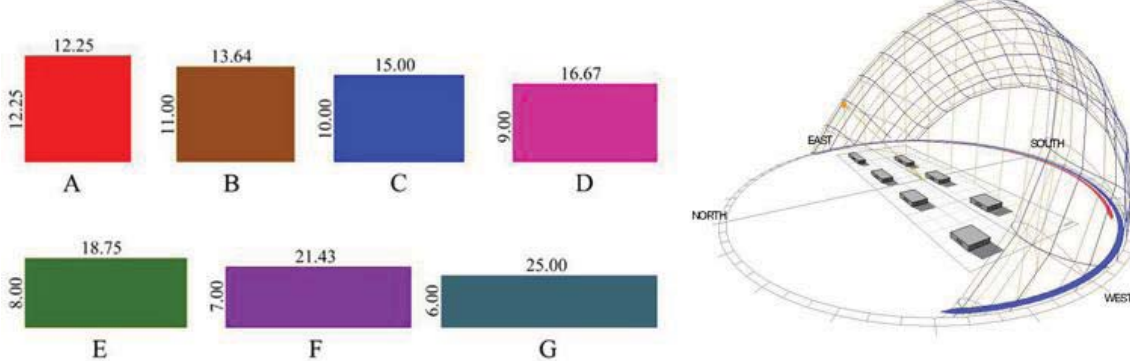
نمونه	توابع	شفافیت صفر kwh/m <sup>2</sup>	درصد*	مقدار مصرف در میزان	مقدار مصرف انرژی در حالت بازشو بهینه در روشنایی	رتبه*بندی
A	A1 - A2	55.39	۳۴/۵	50.51	ba z sho be hin he	1
B	B1 - B2	54.79	۳۷/۲	53.56	ba z sho be hin he	2
C	C1 - C2	54.63	۳۶/۵	54.80	ba z sho be hin he	3
D	D1 - D2	59.59	۳۶	57.09	ba z sho be hin he	6
E	E1 - E2	55.90	۲۹/۹	55.67	ba z sho be hin he	4
F	F1 - F2	57.45	۲۸/۷	56.63	ba z sho be hin he	5
G	G1 - G2	60.08	۲۸	61.68	ba z sho be hin he	7

به جهات جغرافیایی نیز در میزان مصرف انرژی تاثیرگذار است. نحوه شبیه سازی شکل هندسی نمونه‌ها در نرم افزار و جهت گیری آن‌ها نسبت به جهات جغرافیایی نیز در شکل شماره ۷ دیده می‌شود. لذا در این بخش تناسب و شفافیت بهینه از هر نمونه (نتایج بدست آمده در جدول شماره ۶) به عنوان مدل منتخب در نظر گرفته شده و مدل‌ها با فواصل ۵ درجه‌ای از سمت جنوب به میزان ۹۰ درجه به سمت شرق و غرب چرخانده شده‌اند. در این فواصل با گام‌های ۱۰ درجه‌ای میزان انرژی مصرفی در بار سرمایشی و گرمایشی و کل انرژی لازم جهت سیستم تهویه مطبوع محاسبه و به نمایش درآورده شده است (شکل ۸).

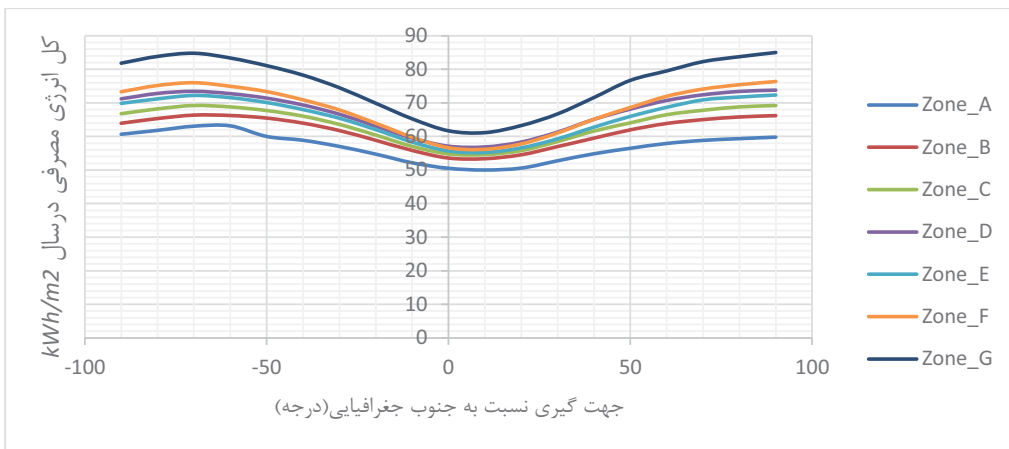
با توجه به جدول شماره ۶، نمونه مربع شکل A (نسبت طول به عرض ۱) در حالت بازشو بهینه، بهترین عملکرد را به لحاظ میزان مصرف انرژی داشته و با تغییر شکل هندسه پلان از مربع به مستطیل (افزایش نسبت طول به عرض ساختمان) میزان مصرف به صورت کلی افزایش می‌یابد. چنانکه با تغییر هندسه پلان از نمونه A (نسبت طول به عرض ۱) تا نمونه G (نسبت طول به عرض ۴،۱) مصرف انرژی ساختمان بیش از ۱۰ (۵) کیلو وات ساعت بر متر مربع افزایش یافته است.

#### ۱۴- جهت گیری

علاوه بر موارد مطرح شده، جهت گیری ساختمان نسبت



شکل ۷. مشخصات هندسی نمونه‌ها و جهت گیری نسبت به جهات جغرافیایی (ماخذ: نگارنده)



شکل ۸. عملکرد انرژی نمونه های بهینه با توجه به جهت گیری در طول یک سال (مأخذ: نگارنده)

صرف انرژی پس از اعمال جهت گیری بهینه ساختمان (هر چند به میزان کم) کاهش پیدا کرده است. چنانکه نمونه مربع شکل A با میزان شفافیت ۳۴,۵ درصدی جداره و جهت گیری ۸ درجه به سمت شرق از جنوب جغرافیایی دارای کمترین میزان مصرف انرژی بوده و گزینه های مطلوب بعدی به ترتیب نمونه B با میزان شفافیت ۲۷,۲ درصد و نمونه C با شفافیت ۳۶,۵ درصد با جهت گیرهای ۸ درجه و ۸,۱ درجه به سمت شرق از جنوب خواهند بود.

با توجه به شکل شماره ۸ تمامی نمونه ها جهت گیری بهینه خود را بین ۰ تا ۱۰ درجه از جنوب جغرافیایی به سمت شرق تجربه کرده و در نهایت نمونه های A و C, E به ترتیب بهترین و نمونه های D, F و G بدترین عملکرد را (به لحاظ مصرف انرژی) به خود اختصاص داده اند. در جدول شماره ۷ مقایسه ای ما بین میزان مصرف انرژی نمونه ها قبل و پس از اعمال جهت گیری بهینه انجام و رتبه بندی نمونه ها به لحاظ عملکرد حرارتی نشان داده شده است. همانطور که دیده می شود میزان

جدول ۷: جهت گیری بهینه نمونه ها (مأخذ: نگارنده)

نمونه	جهت گیری قبل از اعمال kWh/m <sup>2</sup>	جهت گیری بهینه کیلووات ساعت بر متر مربع	مقادیر مصرف انرژی قبل از اعمال کیلووات ساعت بر متر مربع	جهت گیری بهینه (درجه)	مقادیر مصرف انرژی پس از اعمال کیلووات ساعت بر متر مربع	رتبه بندی نهایی
A	۵۰/۵۱	۴۹,۹۰	۴۹,۹۰	۸	۴۹,۹۰	۱
B	۵۳/۵۶	۵۳,۰۹	۵۳,۰۹	۸	۵۳,۰۹	۲
C	۵۴/۸۰	۵۴,۴۰	۵۴,۴۰	۸/۱	۵۴,۴۰	۳
D	۵۷/۰۹	۵۶,۶۴	۵۶,۶۴	۸/۶	۵۶,۶۴	۶
E	۵۵/۶۷	۵۵,۰۳	۵۵,۰۳	۸	۵۵/۶۷	۴
F	۵۶/۶۳	۵۶,۰۱	۵۶,۰۱	۸	۵۶/۶۳	۵
G	۶۱/۶۸	۶۱,۱۲	۶۱,۱۲	۸	۶۱/۶۸	۷

نموده است؛ به صورتی که کمترین مصرف را نمونه A "با مصرف ۵۰/۵۱ کیلووات ساعت بر متر مربع و مصرف کلی ۷۵۷۶,۵ kwh در سال" و بیشترین مقدار را نمونه G "با مصرف ۶۱/۶۸ کیلووات ساعت بر متر مربع در سال و مصرف کلی ۹۲۵۲ kwh در سال" به خود اختصاص داده اند. در مرحله ای بعد با اعمال جهت گیری بهینه در هر نمونه مقادیر فوق باز هم تغییر می نماید؛ برای مثال میزان مصرف

چنانچه نتایج حاصله نشان میدهد؛ در مرحله اول و پیش از لحاظ نمودن تاثیر موارد بررسی شده؛ نمونه B با مصرف ۵۴,۵۷ کیلووات ساعت بر متر مربع و مصرف کلی ۸۱۸۵,۵ kwh در سال کمترین؛ و نمونه G با مصرف ۹۰۱۲ کیلووات ساعت بر متر مربع و مصرف کلی ۶۰,۰۸ kwh در سال بیشترین میزان مصرف را دارا بوده اند. عملکرد نمونه ها پس از آن و با اعمال ابعاد بهینه ی بازشوها تغییر

اندیشه انسانی نیازی نخواهد داشت. مروی بر نتایج بدست آمده در مراحل کوئنگون این پژوهش و مقایسه تطبیقی آنها بیانگر آنست که ضمن انجام فرآیند طراحی یک ساختمان، به کمک شبیه سازی و انجام محاسبات توسط نرم‌افزار، میتوان خصوصیات فیزیکی آن را به معیارهایی قابل اندازه‌گیری تبدیل و مقدار انرژی مصرفی را هر مرحله بررسی نمود. بدین ترتیب ضمن پیش‌بینی و بررسی فاکتورهای اثر گذار بر مصرف انرژی، میزان مصرف نهایی کنترل شده و امکان انتخاب گزینه بهینه را از میان آلت‌رناتیوهای ممکن وجود خواهد داشت.

در این پژوهش نگارنده با هدف دست یابی به خصوصیات فیزیکی بهینه ساختمان به لحاظ میزان انرژی مصرفی، عملکرد حرارتی ۷ نمونه تناسب ساختمانی در شهر خرم آباد را به کمک دو نرم افزار آنالیز انرژی ساختمان (اکوتک آنالایسنس و انرژی پلاس) شبیه سازی و اطلاعات بدست آمده را از طریق روش‌های محاسباتی بررسی نموده است. نتایج نهایی تحلیل‌ها نشان دهنده آنست که گزینه مربع شکل (تناسب ۱ به ۱) کمترین میزان مصرف را داشته و با افزایش کشیدگی تناسبات ساختمان، میزان مصرف تقریباً در تمامی موارد افزایش یافته است. این مسئله نشان دهنده اهمیت تاثیر هندسه پلان ساختمان بر مقدار انرژی مصرفی بوده لذا تعیین هندسه‌ی مناسب اولین قدم در راستای طراحی یک ساختمان کم مصرف است. همچنین محاسبات انجام شده نشان دهنده تاثیر مستقیم تمامی موارد بررسی شده – شامل: ابعاد پلان (نسبت طول به عرض)، مساحت بازشوها، میزان شفافیت جداره‌های آن نسبت به سطح کدر و جهت‌گیری ساختمان نسبت به جهات جغرافیایی – بر مقدار انرژی مورد نیاز ساختمان می‌باشد. لذا به منظور دست‌یابی به نتیجه‌ی مناسب، لازم است تمامی موارد در کنار یکدیگر و همزمان تحت بررسی قرار گیرند.

از سوی دیگر؛ در مواردی که تناسبات ساختمان از پیش تعیین شده و امکان تغییر آن وجود ندارد، می‌توان با توجه به اطلاعات اقلیمی مورد نظر به کمک نرم افزارهای، حالت بهینه جهت‌گیری ساختمان نسبت به جهات جغرافیایی، میزان شفافیت بهینه جداره‌ها بر اساس مقدار نیاز به دریافت تابش خورشید، نسبت سطح شفاف به سطح کدر ساختمان، میزان دریافت و اتلاف انرژی از طریق بازشوها، نحوه سایه‌اندازی ساختمان‌های اطراف بر بنا و مدت زمان قرارگیری جبهه‌های مختلف ساختمان در سایه در فصول مختلف سال را محاسبه کرده و اتلاف انرژی را تا حد ممکن کاهش داد.

نمونه A پس از جهت گیری مناسب به  $49,90 \text{ kwh/m}^2$  در هر متر مربع و  $7485 \text{ kwh}$  در طول یک سال رسیده است. لذا با سنجش دقیق و تعیین مشخصات فیزیکی ساختمان، میزان مصرف سالیانه در نمونه‌ی فرضی A به میزان  $91,5 \text{ kwh}$  کاهش یافته است. این موضوع نشان دهنده تاثیر مستقیم تمامی عوامل در نظر گرفته شده بر عملکرد حرارتی ساختمان و کاهش و یا افزایش انرژی مصرفی آن می‌باشد. مسئله‌ی مهم دیگر تعیین ابعاد مساحت جداره شفاف ساختمان نسبت به جداره کدر آن است که در این پژوهش مورد بررسی قرار گرفته. با توجه به آنکه بازشوها و سیله‌ی دریافت نور خورشید و تامین بخش مهمی از انرژی گرمایشی مورد نیاز ساختمان می‌باشند، تعیین مساحت دقیق پنجره‌های مورد نیاز - ضمن لحاظ نمودن اقلیم و مقدار اتلاف انرژی از همان بازشو - حائز اهمیت بسیار است. پیرو نتایج محاسبات؛ درصد شفافیت بهینه جداره بر حسب نسبت طول به عرض ساختمان در پژوهش حاضر مطابق با جدول شماره ۸ می‌باشد. شایان ذکر است در تعیین درصدهای پیشنهاد شده فاکتورهایی همچون جهت گیری ساختمان و حجم فضای داخلی آن نیز دخیل بوده و در عرض جغرافیایی مورد بررسی صحیح می‌باشد. لذا تعیین مساحت بازشو در هر پروژه طراحی به بررسی دقیق نیاز دارد.

جدول ۸: درصد شفافیت بازشو بر حسب نسبت طول به عرض پلان  
(ماخذ: نگارنده)

نسبت طول به عرض پلان	درصد شفافیت جداره به منظور دریافت بهینه انرژی
۳۴/۵	۱
۳۷/۲	۱/۲۴
۳۶/۵	۱/۵
۳۶	۱/۸۵
۲۹/۹	۲/۳۴
۲۸/۷	۳
۲۸	۴/۱

#### ۱۵- نتیجه‌گیری

بخش اعظمی از مشکلات زیست محیطی در دنیای امروز مربوط به مصرف بیش از اندازه سوختهای فسیلی بویژه در صنعت ساختمان می‌باشد، لذا بی توجهی به چگونگی و میزان مصرف و اتلاف انرژی در ساختمان‌ها، خسارت‌های جبران‌ناپذیری را به دنبال خواهد داشت. بهینه‌سازی مصرف انرژی از طریق کنترل فرآیند طراحی، از آن جهت مهم است که این روش‌ها به هیچ‌گونه انرژی جز

اقلیمی در روند پژوهه لحاظ گردد. از سوی دیگر مطالعات صورت گرفته مختص خانه های مسکونی تک خانوار بوده و بررسی نمونه های بزرگتر یا مجتمع های مسکونی نیازمند انجام طرح های تحقیقاتی گسترشده تری است. با این حال علاقمندان به مباحث کنترل انرژی ساختمان می توانند حالت های بهینه استقرار ساختمان، جهت گیری، تناسبات، میزان شفافیت جداره ها و دیگر پارامتر های کلیدی مصرف انرژی در بناهای تک خانوار را در اقلیم های مختلف بررسی نمایند. همچنین موارد زیر جهت بررسی های بیشتر پیشنهاد می گردد؛ مطالعه و تحقیق پیرامون انرژی مصرف شده جهت تولید مصالح مختلف؛ تبیین و تالیف استانداردهای طراحی خانه های کم مصرف و ایجاد سیستم رتبه بندی بومی ساختمان ها در کشور؛ بررسی روش های غیرفعال تامین گرمایش و سرمایش برای هر کدام از اقلیم های چهارگانه کشورمان و بررسی مصالح مناسب جهت استفاده در مناطق مختلف آب و هوایی.

باید توجه داشت با وجود دقت ۷۵ تا ۹۵ درصدی نرم افزارهای آنالیز انرژی، نمی توان تا قبل از مانیتور نمونه واقعی از موفقیت کامل طرح به طور قطع اطمینان حاصل کرد چرا که پژوهه های شبیه سازی انرژی دارای ضریب اشتباہ (هر چند اندک) می باشند. از طرف دیگر؛ تمامی محاسبات انجام شده در این پژوهش، بر اساس مشخصه های فیزیکی ساختمان و با در نظر گرفتن مصالح معمول ساخت و ساز انجام و پنجره ها نیز از نوع تک جداره در نظر گرفته شده اند. این در حالیست که با در نظر گرفتن خصوصیات مصالح مناسب اقلیم و پنجره های متفاوت در فضاهای مقادیر فوق باز هم تغییر نموده و مصرف انرژی کاهش خواهد یافت.

هم چنین لازم به ذکر است مطالعات این پژوهش تنها به بررسی گوشه ای از بحث وسیع کنترل انرژی مصرف ساختمان پرداخته و نتایج آن به شرایط آب و هوایی و اقلیم شهر خرم آباد محدود می باشد. لذا پیشنهاد می شود در صورت استفاده از رویکرد پیشنهادی پژوهش در مناطق با موقعیت های جغرافیایی متفاوت، شرایط دقیق

#### پی نوشت:

۱. اکوتک (Ecotect Analysis 2011) نرم افزار شبیه ساز مدل ساختمان.
۲. انرژی پلاس (Energy Plus 8.2.0) نرم افزار شبیه سازی مصرف انرژی.
۳. در حالات سرما و گرمایش، بازه آسایش و تهویه مطبوع همراه با مقدار روشنایی طبیعی
۴. محاسبات توسط نرم افزار اکسل (Excel) به تابع درجه دوم تبدیل شده و بهترین حالات مصرف انرژی و میزان درصد بارشو به صورت نسبی مشخص و بهینه یابی انجام شده است.
۵. نسبت سطح به حجم نمونه
۶. اداره کل هواشناسی استان لرستان [www.lorestanmet.ir/index.php/fa](http://www.lorestanmet.ir/index.php/fa)
۷. شبیه سازی مدل فیزیکی نمونه ها توسط نرم افزار Ecotect Analysis و محاسبات میزان مصرف انرژی نمونه ها توسط نرم افزار Energy Plus انجام شده است.
۸. سازمان هواشناسی استان لرستان.
۹. موسسه تحقیقات ساختمان (Building Research Establishment) LEED (Leadership in Energy and Environmental Design)
۱۰. باید توجه داشت در محاسبات انجام شده پنجره ها از نوع تک جداره در نظر گرفته شده اند و ارزش نور طبیعی در پنجره های دو یا سه جداره با شبیه شدن کم انتشار بسیار متفاوت خواهد بود.

#### فهرست منابع:

- بزرگ، زهرا؛ حیدری، شاهین (۱۳۹۳). بررسی تاثیر تابش دریافتی خورشید در بدنه های ساختمان بر مصرف انرژی بخش خانگی، نمونه موردی جهت گیری جنوب غربی و جنوب شرقی در شهر شیراز، نشریه هنرهای زیبا - معماری و شهرسازی، دوره ۱۸، شماره ۱، صص. ۴۵-۵۶.
- حیدری، شاهین (۱۳۸۸). برنامه ریزی انرژی در ایران با تکیه بر بخش ساختمان، چاپ اول، انتشارات دانشگاه تهران.
- خیاطیان، فاضل؛ رئیس سمیعی، محمدمهدی (۱۳۹۲). طراحی، آنالیز و مدلسازی یک خانه صفر انرژی، رساله کارشناسی ارشد، دانشگاه گیلان، دانشکده معماری و هنر.
- عربزاده، سانا؛ کاظم زاده حناتی، سیامک (۱۳۸۴). بررسی پارامترهای مؤثر در میزان مصرف انرژی در بخش مسکونی در ایران، چهارمین همایش بهینه سازی مصرف سوخت در ساختمان.
- کسمایی، مرتضی (۱۳۸۲). اقلیم و معماری، ویراست دوم، نشر خاک، اصفهان.
- مبحث ۱۹ مقررات ملی ساختمان

- نصراللهی، فرشاد (۱۳۹۰). ضوابط معماري و شهرسازی کاهش‌دهنده مصرف انرژی ساختمان‌ها، نشست کمیته ملی انرژی ایران.
- واتسون، دانلد (۱۳۸۲). طراحی اقلیمی: اصول نظری و اجرای کاربرد انرژی در ساختمان، ترجمه وحید قبادیان و محمدفیض مهدوی، انتشارات دانشگاه تهران، تهران.
- ترازنامه انرژی ایران (۱۳۸۵). وزارت نیرو.
- Al Homoud MS (2005). A systematic approach for the thermal design optimization of building envelopes, Department of Architectural Engineering, King Fahd University Petroleum Minerals, Dhahran 31261, Saudi Arabia.
- Granadeiroa V, Correia JR, Leal VMS. (2013). Envelope-related energy demand: A design indicator of energy performance for residential buildings in early design stages, Energy and Buildings, Vol. 61, pp. 215–223.
- <http://www.isover-students.com/content/view/247/312/>.
- Jaber S, Ajib S (2011). Optimum, technical and energy efficiency design of residential building in Mediterranean region, Energy and Buildings, No. 43, Vol. 8, pp. 1829-1834.
- Jinghua Yu, Yanga C, Tiana L (2008). Low-energy envelope design of residential building in hot summer and cold winter zone in China, Energy and Buildings, No. 40, Vol. 8, pp. 1536-1546.
- Kazanasmaz T, Uygun IE, Akkurt GG (2014). On the relation between architectural considerations and heating energy performance of Turkish residential buildings in Izmir, Energy and Buildings, Vol. 72, pp. 38-50.
- Nielsen TR (2002). Optimization of buildings with respect to energy and indoor environment, Rapport BYG-DTU R-036 2002 ISSN 1601-2917 ISBN 87-7877-094-7, Danmark stekniske universitet, Department of Civil Engineering DTU-building 118 2800Kgs, Lyngby.
- Persson ML, Roos A, Wall M (2006). Influence of window size on the energy balance of low energy houses, Energy and Buildings, Vol. 38, pp. 181-188.